

РЕЛАКСАЦИЯ КИРАЛЬНОГО ДИСБАЛАНСА И ГЕНЕРАЦИЯ МАГНИТНЫХ ПОЛЕЙ В МАГНИТАРАХ

*М. С. Дворников**

*Институт земного магнетизма, ионосферы и распространения радиоволн им. Н. В. Пушкова
Российской академии наук
108840, Троицк, Москва, Россия*

*Национальный исследовательский Томский государственный университет
634050, Томск, Россия*

*Институт теоретической физики, университет Гамбурга
D-22761, Гамбург, Германия*

Поступила в редакцию 1 апреля 2016 г.

Развивается модель генерации магнитного поля в нейтронной звезде, основанная на неустойчивости магнитного поля, вызванной электрослабым взаимодействием между электронами и нуклонами в ядерном веществе. С помощью методов квантовой теории поля вычисляется скорость изменения спиральности электронов при их рассеянии на протонах в плотном веществе нейтронной звезды. Изучается влияние электрослабого взаимодействия между электронами и фоновыми нуклонами на процесс изменения спиральности. Выводится кинетическое уравнение для эволюции кирального дисбаланса. Полученные результаты применяются для описания эволюции магнитного поля в магнитарах.

DOI: 10.7868/S0044451016120000

1. ВВЕДЕНИЕ

Некоторые нейтронные звезды (НЗ) могут обладать сверхсильными магнитными полями $B \gtrsim 10^{15}$ Гс. Подобные НЗ называют магнитарами [1]. Несмотря на длительную историю наблюдений магнитаров и наличие многочисленных теоретических моделей генерации их магнитных полей, в настоящее время не существует общепринятого механизма, объясняющего происхождение магнитного поля в этих компактных звездах.

При построении модели магнитного поля в магнитаре сталкиваются со следующими основными трудностями. Во-первых, необходимо объяснить генерацию магнитных полей, которые являются достаточно сильными $B \gtrsim 10^{15}$ Гс и крупномасштабными $\Lambda_B \sim R_{NS}$, где $R_{NS} \sim 10$ км — радиус НЗ. Некоторые популярные модели [2, 3] предсказывают возникновение подобных магнитных полей в течение

нескольких секунд после начала коллапса сверхновой (СН). Однако данные модели требуют весьма специфических начальных условий. Во-вторых, неясно, почему магнитное поле, генерируемое за такой короткий промежуток времени, должно быть заключено внутри НЗ в течение $t \gtrsim 10^3$ лет, что является характерным возрастом молодых магнитаров, и только спустя это время магнитное поле выходит за пределы НЗ, где его энергия преобразуется в гамма- или рентгеновское излучение магнитаров [1]. Модель, разработанная в работе [4] для объяснения электромагнитного излучения магнитаров на основе проникновения магнитного поля через трещины в коре НЗ, является довольно катастрофической.

Недавно в работах [5, 6] было предпринято несколько попыток решить проблему генерации магнитного поля в магнитарах с помощью кирального магнитного эффекта [7]. Данный эффект также был использован для генерации тороидальных магнитных полей в НЗ в работе [8]. Альтернативный механизм, объясняющий возникновение сильных космических магнитных полей на основе неустойчивости магнитного поля, вызванной взаимодействием, нарушающим пространственную четность, был предложен в работах [9, 10]. Несколь-

* E-mail: maxdvo@izmiran.ru

ко лет назад данная идея снова была рассмотрена в работе [11].

В работах [12–14] была разработана новая модель генерации магнитных полей в магнитарах. Основным механизмом, лежащим в основе предложенной модели, является усиление затравочного магнитного поля из-за его неустойчивости в ядерном веществе, обусловленной электрон-нуклонным (eN) электрослабым взаимодействием. В рамках данного подхода было получено усиление затравочного магнитного поля $B_0 = 10^{12}$ Гс, которое довольно часто наблюдается в молодых пульсарах, до значений, предсказываемых в магнитарах. Характерный пространственный масштаб магнитного поля оказался сравнимым с радиусом НЗ. Магнитные поля демонстрировали рост в интервале времен (10^3 – 10^5) лет в зависимости от их пространственных масштабов. Помимо возникновения сильных магнитных полей, в данной модели предсказывается генерация магнитной спиральности в магнитарах [13].

Несмотря на объяснение различных свойств магнитаров в [12–14], некоторые особенности данной модели нуждаются в более тщательном обосновании на основе расчетов с использованием методов квантовой теории поля (КТП). Данная работа посвящена дальнейшему развитию предлагаемого описания генерации магнитных полей в магнитарах.

В настоящей работе исследуются следующие вопросы. В разд. 2 перечисляются ключевые моменты рассматриваемой модели генерации магнитных полей в магнитарах. В разд. 3 изучаются электрон-протонные (ep) столкновения в плотном веществе НЗ. В частности, в разд. 3.1 вычисляется полная вероятность изменения спиральности электрона при ep -рассеянии. Затем в разд. 3.2 выводится кинетическое уравнение для кирального дисбаланса. Релаксация кирального дисбаланса с точки зрения термодинамики исследуется в разд. 3.3. Полученные результаты применяются в разд. 4 для описания генерации магнитных полей в магнитарах. Выводы представлены в разд. 5. В Приложении А приведено точное решение уравнения Дирака для электрона, электрослабо взаимодействующего с веществом НЗ. Некоторые детали вычисления интегралов по фазовому объему представлены в Приложении В. В Приложении С выводятся кинетические уравнения для чисел заполнения релятивистских электронов. Баланс энергии в магнитаре обсуждается в Приложении D.

2. МОДЕЛЬ ГЕНЕРАЦИИ МАГНИТНЫХ ПОЛЕЙ В МАГНИТАРАХ

В этом разделе кратко описаны характерные особенности модели генерации сильных крупномасштабных магнитных полей в магнитарах на основе неустойчивости магнитного поля из-за нарушающей четность электрослабого eN -взаимодействия.

Как известно, плотное вещество НЗ состоит из ультрарелятивистских электронов и нерелятивистских нуклонов: нейтронов и протонов. Предполагается, что данное вещество обладает нулевой макроскопической скоростью и нулевой поляризацией. Электроны в таком веществе взаимодействуют с нуклонами посредством электрослабых сил, нарушающих четность. В работах [12, 13] было найдено, что в этом случае во внешнем магнитном поле \mathbf{B} возникает индуцированный аномальный электрический ток электронов \mathbf{J} следующего вида:

$$\mathbf{J} = \text{ПВ}, \quad \text{П} = \frac{2\alpha_{em}}{\pi} (\mu_5 + V_5), \quad (1)$$

где $\alpha_{em} \approx 7.3 \cdot 10^{-3}$ — постоянная тонкой структуры, $\mu_5 = (\mu_R - \mu_L)/2$ — киральный дисбаланс, $\mu_{R,L}$ — химические потенциалы правых и левых электронов, $V_5 = (V_L - V_R)/2 \approx G_F n_n / 2\sqrt{2}$, $V_{L,R}$ — эффективные потенциалы взаимодействия левых и правых электронов с нуклонами среды (в основном с нейтронами), $G_F \approx 1.17 \cdot 10^{-5}$ ГэВ $^{-2}$ — постоянная Ферми, а n_n — плотность нейтронов. В явном виде $V_{L,R}$ приведены в формуле (26). Ток в соотношении (1) был выведен в работах [12, 13] с использованием точного решения уравнения Дирака для ультрарелятивистского электрона, взаимодействующего с веществом под действием внешнего магнитного поля. Данный ток добавляется к омическому току $\mathbf{J}_{ohm} = \sigma_{cond} \mathbf{E}$, где σ_{cond} — электрическая проводимость вещества, а \mathbf{E} — электрическое поле.

На основании выражения (1) для тока в работе [13] была получена система уравнений для эволюции спектра плотности магнитной спиральности $h(k, t)$, спектра плотности магнитной энергии $\rho_B(k, t)$ и кирального дисбаланса в виде

$$\frac{\partial h(k, t)}{\partial t} = -\frac{2k^2}{\sigma_{cond}} h(k, t) + \frac{8\alpha_{em} [\mu_5(t) + V_5]}{\pi \sigma_{cond}} \rho_B(k, t), \quad (2)$$

$$\frac{\partial \rho_B(k, t)}{\partial t} = -\frac{2k^2}{\sigma_{cond}} \rho_B(k, t) + \frac{2\alpha_{em} [\mu_5(t) + V_5]}{\pi \sigma_{cond}} k^2 h(k, t), \quad (3)$$

$$\frac{d\mu_5(t)}{dt} = \frac{\pi\alpha_{em}}{\mu_e^2\sigma_{cond}} \int dk \left\{ k^2 h(k, t) - \frac{4\alpha_{em}}{\pi} [\mu_5(t) + V_5] \rho_B(k, t) \right\} - \Gamma_f \mu_5(t), \quad (4)$$

где Γ_f — скорость изменения спиральности электронов в ep -столкновениях (см. разд. 3), а μ_e — средний химический потенциал электронного газа. Функции $h(k, t)$ и $\rho_B(k, t)$ связаны с полной магнитной спиральностью $H(t)$ и напряженностью магнитного поля посредством соотношений

$$H(t) = V \int h(k, t) dk, \quad \frac{1}{2} B^2(t) = \int \rho_B(k, t) dk, \quad (5)$$

где V — нормировочный объем. Интегрирование в формуле (5) ведется по всему диапазону изменения волнового числа k . Необходимо отметить, что в формуле (5) предполагается изотропность спектров.

Уравнения (2) и (3) для $h(k, t)$ и $\rho_B(k, t)$ являются прямым следствием модифицированного уравнения Фарадея (см. уравнение (24) в разд. 4), в котором учтен аномальный ток в соотношении (2). Первые два члена в правой части уравнения (4) для $\mu_5(t)$ следуют из уравнения (2) и из закона сохранения,

$$\frac{d}{dt} \left(n_R - n_L + \frac{\alpha_{em}}{\pi V} H \right) = 0, \quad (6)$$

где $n_{R,L}$ — концентрации правых и левых электронов. Отметим, что формула (6) является следствием из адлеровской аномалии для ультрарелятивистских электронов ([15], с. 386).

Последнее слагаемое в правой части уравнения (4), $\Gamma_f \mu_5$, было учтено феноменологически. Оно основано на том факте, что спиральность электрона изменяется при ep -столкновении. Как правило, электроны являются ультрарелятивистскими в НЗ. Однако они имеют ненулевую массу. Таким образом, в работе [12] была использована следующая оценка для Γ_f :

$$\Gamma_f \sim \left(\frac{m}{\mu_e} \right)^2 \nu_{coll} \sim \left(\frac{m}{\mu_e} \right)^2 \frac{\omega_p^2}{\sigma_{cond}}, \quad (7)$$

где m — масса электрона, ν_{coll} — частота ep -столкновений, а ω_p — плазменная частота в вырожденной плазме. Уравнение (7) получено на основе соотношения между ν_{coll} и σ_{cond} в классической лоренцевой плазме ([16], с. 61).

Таким образом, чтобы завершить теоретическое обоснование основных уравнений модели в работах [12–14], необходимо рассмотреть изменение спиральности электронов при ep -столкновениях в плотном веществе НЗ с использованием методов КТП. Кроме

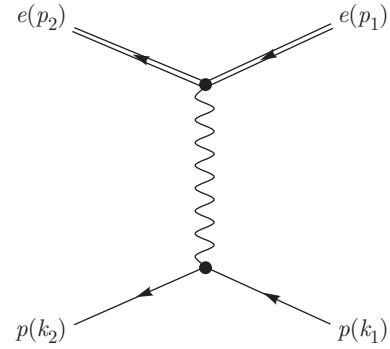


Рис. 1. Диаграмма Фейнмана для ep -рассеяния. Широкие электронные линии обозначают базисные спиноры, соответствующие точному решению уравнения Дирака в формуле (29)

того, небезынтесным является исследование влияния электрослабого взаимодействия между электронами и нуклонами на данный процесс.

3. ЭЛЕКТРОННО-ПРОТОННЫЕ СТОЛКНОВЕНИЯ В ПЛОТНОЙ ПЛАЗМЕ

В этом разделе исследуется изменение спиральности электронов при рассеянии на протонах в ядерном веществе, состоящем из вырожденных нейтронов, протонов и электронов. Заметим, что при изучении процесса рассеяния точно учитывается электрослабое взаимодействие между электронами и нейтронами. В результате, в разд. 3.1 находится скорость изменения спиральности электронов в рассматриваемом веществе. В разд. 3.2 выводится кинетическое уравнение для кирального дисбаланса. В разд. 3.3 анализируется эволюция кирального дисбаланса с точки зрения термодинамики.

В НЗ спиральность массивного электрона может изменяться при ep - и ee -столкновениях за счет электромагнитного взаимодействия при обмене виртуальным плазмоном, а также при взаимодействии электрона с аномальным магнитным моментом нейтрона. В работе [17] найдено, что скорость ep -реакций в плотном веществе НЗ гораздо выше, чем у остальных. Таким образом, следует учитывать только ep -столкновения.

3.1. Скорость изменения спиральности при ep -столкновениях

Матричный элемент ep -рассеяния за счет электромагнитного взаимодействия имеет вид

$$\mathcal{M} = \frac{ie^2}{(k_1 - k_2)^2} \bar{u}_e(p_2) \gamma^\mu u_e(p_1) \cdot \bar{u}_p(k_2) \gamma_\mu u_p(k_1), \quad (8)$$

где $e > 0$ — абсолютная величина заряда электрона, $\gamma^\mu = (\gamma^0, \boldsymbol{\gamma})$ — матрицы Дирака, $u_{e,p}$ — биспиноры, соответствующие волновым функциям электронов и протонов, а $p_{1,2}^\mu = (E_{1,2}, \mathbf{p}_{1,2})$ и $k_{1,2}^\mu = (\mathcal{E}_{1,2}, \mathbf{k}_{1,2})$ — 4-импульсы электронов и протонов. Импульсы частиц до и после рассеяния имеют индексы 1 и 2. Диаграмма Фейнмана для данного процесса изображена на рис. 1.

Помимо обмена плазмоном с протоном, электрон может электрослабо взаимодействовать с нуклонами вещества НЗ. Чтобы учесть это взаимодействие, в матричном элементе (8) вместо решений урав-

нения Дирака в вакууме необходимо использовать спиноры, соответствующие точным решениям уравнения Дирака для электрона, взаимодействующего с фоновым веществом, найденные в Приложении А.

Будем интересоваться реакциями, в которых спиральность электрона изменяется на противоположную. Рассмотрим сначала переходы $e_R \rightarrow e_L$. В соответствии с уравнением (8) необходимо вычислить следующую величину:

$$J^\mu = (J_0, \mathbf{J}) = \bar{u}_-(p_2)\gamma^\mu u_+(p_1). \quad (9)$$

Используя формулы (29) и (32), получаем

$$J_0 = -\frac{mP_0 [p_1 + p_2 + E_+(p_1) + E_-(p_2) - 2\bar{V}]}{2\sqrt{E_{0+}(p_1)E_{0-}(p_2)} [E_-(p_2) + p_2 - V_R] [E_+(p_1) + p_1 - V_L]},$$

$$\mathbf{J} = -\frac{m\mathbf{P} [p_1 - p_2 + E_+(p_1) - E_-(p_2) - 2V_5]}{2\sqrt{E_{0+}(p_1)E_{0-}(p_2)} [E_-(p_2) + p_2 - V_R] [E_+(p_1) + p_1 - V_L]}, \quad (10)$$

где

$$P_0 = w_-^\dagger(\mathbf{p}_2)w_+(\mathbf{p}_1), \quad \mathbf{P} = w_-^\dagger(\mathbf{p}_2)\boldsymbol{\sigma}w_+(\mathbf{p}_1). \quad (11)$$

Здесь $\boldsymbol{\sigma}$ — матрицы Паули, а $\bar{V} = (V_L + V_R)/2$. Для получения формулы (10) используются матрицы Дирака в киральном представлении ([18], с. 387).

Как показано в работе [19], с. 251, при рассмотрении столкновений в релятивистской плазме за счет дальнедействующих кулоновских сил следует пользоваться приближением упругого рассеяния. Таким образом, при исследовании переходов $R \rightarrow L$ необходимо считать, что $E_+(p_1) = E_-(p_2)$. При рассмотрении ультрарелятивистских электронов и использовании того факта, что $E_\pm(p_{1,2}) = p_{1,2} + V_{R,L}$ (см. формулу (28)), данное условие эквивалентно $p_1 - p_2 = 2V_5$. Из соотношения (10) получаем, что $\mathbf{J} = 0$. Для вычисления P_0 в формуле (11) используется явный вид спиральных амплитуд в соотношении (30). Прямой расчет показывает, что

$$|P_0|^2 = \frac{1}{2} [1 - (\mathbf{n}_1 \cdot \mathbf{n}_2)], \quad (12)$$

где $\mathbf{n}_{1,2}$ — единичные векторы в направлении $\mathbf{p}_{1,2}$.

Таким образом, используя формулы (10) и (12), получаем, что квадрат матричного элемента в соотношении (8) имеет вид

$$|\mathcal{M}|^2 = e^4 m^2 \frac{(p_1 + p_2)^2 [1 - (\mathbf{n}_1 \cdot \mathbf{n}_2)]}{8(p_1 - V_5)^2 (p_2 + V_5)^2} \times \frac{\mathcal{E}_1 \mathcal{E}_2 + M^2 + (\mathbf{k}_1 \cdot \mathbf{k}_2)}{[(\mathcal{E}_1 - \mathcal{E}_2)^2 - (\mathbf{k}_1 - \mathbf{k}_2)^2]^2}, \quad (13)$$

где удерживается основной порядок по массе электрона. Заметим, что вклады протонов, которые

считаются неполяризованными, в $|\mathcal{M}|^2$ находятся по стандартной схеме (см., например, книгу [20], с. 291).

Полная вероятность рассеяния имеет вид ([20], с. 286)

$$W = \frac{V}{2(2\pi)^8} \int \frac{d^3 p_1 d^3 p_2 d^3 k_1 d^3 k_2}{\mathcal{E}_1 \mathcal{E}_2} \times \delta^4(p_1 + k_1 - p_2 - k_2) |\mathcal{M}|^2 f_e(E_1^+ - \mu_R) \times [1 - f_e(E_2^- - \mu_L)] f_p(\mathcal{E}_1 - \mu_p) [1 - f_p(\mathcal{E}_2 - \mu_p)], \quad (14)$$

где проведено суммирование по поляризациям протона после рассеяния. Здесь

$$f_{e,p}(E) = [\exp(\beta E) + 1]^{-1}$$

— распределения Ферми – Дирака электронов и протонов, $\beta = 1/T$ — обратная температура, μ_p — химический потенциал протонов, а V — нормировочный объем. В уравнении (14) предполагается, что электроны до и после рассеяния имеют различные химические потенциалы: μ_R и μ_L . Протоны и электроны принимаются находящимися в тепловом равновесии с одинаковой температурой T . Выражение для полной вероятности соответствует нормировке волновых функций электронов в соотношении (31).

Поскольку вероятность процесса $R \rightarrow L$ при er -столкновении ищется в главном порядке по массе электрона m , а $|\mathcal{M}|^2 \sim m^2$ в формуле (13), можно пренебречь массой электронов при вычислении интегралов по фазовому объему в формуле (14). Кроме того, следует считать, что электронный газ является сильно вырожденным, т. е.

$$f_e(E_1^+ - \mu_R) = \theta(\mu_R - E_1^+),$$

$$1 - f_e(E_2^- - \mu_L) = \theta(E_2^- - \mu_L),$$

где $\theta(z)$ — ступенчатая функция Хевисайда.

Прямое стандартное вычисление интегралов по импульсам электронов и протонов в формуле (14) дает (см. Приложение В)

$$W(R \rightarrow L) = W_0 (\mu_R - \mu_L) \theta(\mu_R - \mu_L),$$

$$W_0 = \frac{Ve^4}{32\pi^5} \frac{m^2 M}{\mu_e} T \left[\ln \left(\frac{48\pi}{\alpha_{em}} \right) - 4 \right], \quad (15)$$

где M — масса протона. Заметим, что при выводе выражения (15) точно учитывалась зависимость от потенциалов взаимодействия электронов с веществом $V_{L,R}$. При рассмотрении переходов $L \rightarrow R$ вычисление полной вероятности рассеяния аналогично случаю $R \rightarrow L$. Можно показать, что $W(L \rightarrow R)$ в этой ситуации полностью совпадает с уравнением (15) с учетом замены $\mu_R \leftrightarrow \mu_L$. Ради краткости соответствующие вычисления не приводятся.

Одним из важных результатов является зависимость W в формуле (15) от химических потенциалов: $W(R \rightarrow L) \sim (\mu_R - \mu_L)$. Заметим, что данное свойство не зависит от предположения об упругости ep -столкновений, которое было сделано при выводе формулы (15). Данная зависимость W является следствием выражений для энергии ультрарелятивистских электронов в веществе (28), $E_{1,2}^\pm = p_{1,2} + V_{R,L}$, которые должны быть учтены как в дельта-функции, выражающей закон сохранения энергии, $\delta(E_1^+ + \mathcal{E}_1 - E_2^- - \mathcal{E}_2)$, так и в функциях распределения электронов по энергиям. Это приводит к тому, что потенциалы $V_{L,R}$ не входят в множитель $(\mu_R - \mu_L)$ в формуле (15). При учете неупругих эффектов может возникнуть зависимость функции W_0 от $V_{L,R}$.

Протоны предполагаются нерелятивистскими и неполяризованными. Если ввести аналоги потенциалов $V_{L,R}$ для протонов (см. формулу (26)) и обозначить их как $V_{L,R}^{(p)}$, то, используя формулу (28), можно оценить вклад слабого взаимодействия в энергию протонов как

$$\Delta(\mathcal{E}_{1,2})_{EW} \sim \bar{V}_p \mp k_{1,2} V_5^{(p)} / M,$$

где

$$\bar{V}_p = [V_L^{(p)} + V_R^{(p)}] / 2, \quad V_5^{(p)} = [V_L^{(p)} - V_R^{(p)}] / 2.$$

Таким образом, видно, что в энергетической дельта-функции в формуле (14)

$$|\Delta(\mathcal{E}_1 - \mathcal{E}_2)_{EW}| \lesssim p_{F_p} V_5^{(p)} / M \sim 0.1 V_5 \ll V_5,$$

поскольку ферми-импульс протонов в НЗ $p_{F_p} \sim 10^2$ МэВ, а также $M \sim 1$ ГэВ и $V_5^{(p)} \sim V_5$. Как было отмечено выше, для электронов имеем

$$|\Delta(E_1 - E_2)_{EW}| = 2V_5.$$

Таким образом, вклад электрослабого взаимодействия через протонную компоненту в закон сохранения энергии пренебрежимо мал по сравнению со вкладом электронов:

$$|\Delta(\mathcal{E}_1 - \mathcal{E}_2)_{EW}| \ll |\Delta(E_1 - E_2)_{EW}|.$$

3.2. Кинетика кирального дисбаланса

Исходя из формулы (15) и аналогичного соотношения для переходов $L \rightarrow R$, получаем кинетические уравнения для полного числа правых и левых электронов $N_{R,L}$ в виде

$$\frac{dN_R}{dt} = -W(R \rightarrow L) + W(L \rightarrow R) =$$

$$= -W_0 (\mu_R - \mu_L), \quad (16)$$

$$\frac{dN_L}{dt} = -W(L \rightarrow R) + W(R \rightarrow L) =$$

$$= -W_0 (\mu_L - \mu_R).$$

Заметим, что уравнения (16) можно также вывести из кинетических уравнений Больцмана для функций распределения правых и левых электронов с учетом интегралов столкновения, описывающих взаимодействия с протонами (см. формулы (39) и (41) в Приложении С).

Вводя концентрации левых и правых электронов $n_{R,L} = N_{R,L}/V$ и используя выражение для $n_{R,L}$ через функцию распределения,

$$n_{R,L} = 2 \int \frac{d^3 p}{(2\pi)^3} \frac{1}{\exp[\beta(p + V_{R,L} - \mu_{R,L})] + 1} \approx$$

$$\approx \frac{(\mu_{R,L} - V_{R,L})^3}{3\pi^2}, \quad (17)$$

получаем, что $d(n_R - n_L)/dt \approx 2\dot{\mu}_5 \mu_e^2 / \pi^2$, где учтено, что $\dot{V}_5 = 0$ и $\mu_5 \ll \mu_e$. Окончательно, можно вывести кинетическое уравнение для μ_5 :

$$\frac{d\mu_5}{dt} = -\Gamma_f \mu_5,$$

$$\Gamma_f = \frac{\alpha_{em}^2}{\pi} \left[\ln \left(\frac{48\pi}{\alpha_{em}} \right) - 4 \right] \left(\frac{m}{\mu_e} \right)^2 \left(\frac{M}{\mu_e} \right) T, \quad (18)$$

где мы используем формулы (15) и (16).

Необходимо отметить, что величина Γ_f в формуле (7) отличается от использованной в [12–14].

Причина расхождения выражений для Γ_f в формулах (7) и (18) состоит в том, что в работе [12] были использованы результаты работы [17], в которой исследовалось рассеяние неполяризованных электронов на протонах. Однако в рассматриваемой в настоящей работе задаче важны фиксированные поляризации электронов, которые имеют противоположные значения до и после рассеяния. Это объясняет тот факт, например, что коэффициент Γ_f в формуле (18) линеен по T , тогда как в соотношении (7) данная величина пропорциональна T^2 .

При изучении эволюции кирального дисбаланса не было учтено влияние магнитного поля, присутствующего в уравнениях (2)–(4). В частности, кинетическое уравнение для μ_5 было выведено в главном ненулевом порядке по α_{em} . Если бы при вычислении матричного элемента в формуле (8) использовались решения уравнения Дирака для электрона, взаимодействующего с фоновым веществом и внешним магнитным полем, как, например, в работах [12, 13], то это привело бы к поправкам высшего порядка по α_{em} в Γ_f в соотношении (18).

Отметим также, что недавно Γ_f было вычислено в работе [21]. Значение Γ_f , полученное в [21], не зависит от T , поскольку в данной работе предполагалось, что протоны невырождены. Это предположение справедливо на ранних стадиях эволюции НЗ. В настоящей работе изучается генерация магнитного поля в НЗ, находящейся в состоянии термодинамического равновесия при $t \gtrsim 10^2$ лет после начала коллапса СН (см. разд. 4 ниже). На данном этапе эволюции НЗ протонная компонента вещества является вырожденной. Температуру вырождения для протонов, которые являются нерелятивистскими, можно оценить, исходя из соотношения $T_{deg} \sim n_p^{2/3}/M$, где n_p — концентрация протонов. Полагая $n_p = 9 \cdot 10^{36} \text{ см}^{-3}$ (см., например, [13] и разд. 4), получаем, что $T_{deg} \sim 10^{10}$ К. Ниже, в разд. 4, предполагается, что начальная температура НЗ $T_0 \leq 10^9$ К, т. е. $T_0 \ll T_{deg}$. Таким образом, в нашей модели протоны являются вырожденными с хорошей степенью точности. Необходимо также отметить, что $\Gamma_f \sim \alpha_{em}^2$ в формуле (18), что совпадает с результатом работы [21].

3.3. Термодинамическое описание релаксации кирального дисбаланса

Недавно, в работе [5] было высказано предположение о том, что кинетика кирального дисбаланса в системе левых и правых электронов, электросла-

бо взаимодействующих с веществом, удовлетворяет уравнению

$$\frac{d\mu_5}{dt} = -\Gamma_f(\mu_5 + V_5), \quad (19)$$

а не уравнению (18), которое следует из результатов наших вычислений. Можно, тем не менее, показать, что уравнение (19) противоречит законам термодинамики.

Используя формулу (17), можно переписать уравнение (19) в виде

$$\frac{d}{dt}(n_R - n_L) = -\frac{2\mu_e^2}{\pi^2}\Gamma_f(\mu_5 + V_5). \quad (20)$$

Из формулы (20) следует, что состояние равновесия, в котором $n_{R,L} = \text{const}$, достигалось бы при $\tilde{\mu}_R = \tilde{\mu}_L$, где $\tilde{\mu}_{L,R} = \mu_{L,R} - V_{L,R}$, а не при $\mu_R = \mu_L$, как того требуют законы термодинамики ([22], с. 292). Заметим, что формально введенные величины $\tilde{\mu}_{L,R} = \tilde{\mu}_{L,R}(P, T)$, где P — давление в системе, — химические потенциалы в отсутствие фонового вещества.

Анализ состояния равновесия в системе левых и правых электронов является частным случаем описания равновесия тела во внешнем поле $\mathcal{V}(\mathbf{r})$. Как показано в работе [22], с. 96, равновесие в данном случае достигается, когда полный химический потенциал $\mu = \tilde{\mu}(P, T) + \mathcal{V}$ принимает постоянные значения внутри системы (в нашем случае — внутри НЗ, см. ниже). Результаты работы [22] легко обобщаются на случай системы, состоящей из частиц двух типов: левых и правых электронов. В этой ситуации получаем, что в состоянии равновесия должны совпадать полные химические потенциалы: $\mu_L = \mu_R$.

Химический потенциал определяется как энергия, приобретаемая системой при добавлении туда одной частицы ([22], с. 94). В настоящей работе в качестве системы служит НЗ. Поэтому химический потенциал следует определять по отношению к вакууму, т. е. пространству снаружи НЗ, где нет фонового вещества. Величины $\mu_{L,R}$, используемые в настоящей работе, имеют смысл полных химических потенциалов, включающих в себя взаимодействие с веществом, которое является аналогом внешнего поля. Это, в частности, следует из формул (14) и (17), поскольку энергии левых и правых электронов в функциях распределения отсчитываются от вакуума.

Более того, формальное переопределение химического потенциала, предложенное в работе [5], $\mu_{L,R} \rightarrow \tilde{\mu}_{L,R} = \mu_{L,R} - V_{L,R}$, которое имело бы смысл

только внутри НЗ, тем не менее, трудноосуществимо на практике. Данное переопределение эквивалентно независимому выбору начала отсчета энергии для левых и правых электронов. Однако при $\Gamma_f \neq 0$ левые и правые частицы сталкиваются с протонами и приходят в состояние термодинамического равновесия. Таким образом, левые и правые частицы не образуют независимых термодинамических систем. Следовательно, невозможно одновременно сдвинуть химические потенциалы на разные значения $V_L \neq V_R$.

Заметим, что в вакууме нет расщепления энергии релятивистских частиц по спиральности, см. формулу (28). Следовательно, снаружи НЗ для левых и правых электронов может быть выбран одинаковый уровень отсчета энергии, поэтому использование полных химических потенциалов $\mu_{L,R}$, включающих взаимодействие с веществом и определенных по отношению к вакууму, является более предпочтительным.

Таким образом, уравнение (19), предложенное в работе [5], не только не подтверждается прямым расчетом вероятности процессов $e_{L,R} \leftrightarrow e_{R,L}$ в разд. 3.1, но и противоречит выводам макроскопической термодинамики.

4. ГЕНЕРАЦИЯ МАГНИТНЫХ ПОЛЕЙ В МАГНИТАРАХ

В данном разделе будет найдено численное решение уравнений (2)–(4) с учетом новой зависимости Γ_f от T в формуле (18). Ранее подобная задача уже исследовалась в работах [13, 14]. Необходимо кратко напомнить начальные условия для уравнений (2)–(4), соответствующие НЗ.

В качестве начального условия для спектра плотности магнитной энергии выберем колмогоровский спектр: $\rho_B(k, t_0) = Ck^{-5/3}$, где постоянная C связана с затравочным полем в молодом пульсаре $B(t_0) = B_0 = 10^{12}$ Гс посредством соотношения (5). Интегрирование в формуле (5) происходит по интервалу $k_{min} < k < k_{max}$, где $k_{min} = 2 \cdot 10^{-11}$ эВ = R_{NS}^{-1} , $R_{NS} = 10$ км — радиус НЗ, $k_{max} = \Lambda_B^{-1}$, а Λ_B — минимальный масштаб магнитного поля, который является свободным параметром. Начальный спектр плотности магнитной энергии выбирается в виде $h(k, t_0) = 2q\rho_B(k, t_0)/k$, где $0 \leq q \leq 1$ — параметр, определяющий начальную спиральность: $q = 0$ соответствует нулевой спиральности, а $q = 1$ — максимальной. Выберем начальное значение кирального дисбаланса следующим образом: $\mu_5(t_0) = 1$ МэВ. Заметим, что эволюция магнитного поля практически не зависит от величины $\mu_5(t_0)$ из-за большого Γ_f .

Концентрации электронов, протонов и нейтронов считаются равными $n_e = n_p = 9 \cdot 10^{36}$ см⁻³ и $n_n = 1.8 \cdot 10^{38}$ см⁻³. Это соответствует $\mu_e = 125$ МэВ для релятивистских электронов. Вещество с подобными параметрами может присутствовать в НЗ.

Чтобы учесть энергетический баланс в системе, состоящей из магнитного поля и фонового вещества, необходимо перенормировать параметр Π в формуле (1) (см. Приложение D):

$$\Pi \rightarrow \Pi \left[1 - \frac{B^2}{B_{eq}^2(T)} \right], \quad (21)$$

где B и B_{eq} определены в формулах (5) и (43). Замена в формуле (21) позволяет также устранить чрезмерный рост магнитного поля при $t \gg t_0$. Перенормировка, аналогичная (21) для $B \ll B_{eq}$, была также использована в работе [14].

Будем рассматривать эволюцию магнитного поля в НЗ, находящейся в состоянии теплового равновесия, которое имеет место при $t_0 < t \lesssim 10^6$ лет, где $t_0 \sim 10^2$ лет. Если исследуется НЗ с достаточно малой массой $M < 1.44M_\odot$, где $M_\odot = 2 \cdot 10^{33}$ г — масса Солнца, то, как показано в работе [23], в данном временном интервале НЗ остывает за счет излучения нейтрино в модифицированных урка-процессах. Это приводит к зависимости температуры от времени [23, 24]

$$T(t) = T_0 \left(\frac{t}{t_0} \right)^{-1/6}, \quad (22)$$

где $T_0 = (10^8 - 10^9)$ К — температура, соответствующая $t = t_0$. Для более массивных НЗ остывание за счет излучения нейтрино может происходить быстрее, чем это следует из формулы (22). Более того, в работе [23] найдено, что для НЗ с массой $M = 1.3M_\odot$ при $t_0 = 10^2$ лет температура в центре НЗ $T_0 = 4 \cdot 10^8$ К в случае полного отсутствия сверхтекучести нейтронной компоненты, и $T_0 = 3 \cdot 10^8$ К — если сверхтекучесть существует только в коре НЗ. В ситуации, когда сверхтекучесть представлена также и в ядре НЗ, T_0 может быть значительно меньше 10^8 К. Таким образом, мы будем рассматривать достаточно легкую НЗ либо не находящуюся целиком в сверхтекучем состоянии, либо когда сверхтекучесть имеет место только в коре НЗ. Используя результаты работы [17], можно получить зависимость проводимости от времени $\sigma_{cond}(t) = \sigma_0 (t/t_0)^{1/3}$, где $\sigma_0 = 2.7 \cdot 10^8 \cdot (T_0/10^8 \text{ К})^{-2}$ МэВ — проводимость при $t = t_0$. Также необходимо учесть новую зависимость Γ_f от времени в формуле (18):

$$\Gamma_f = 1.6 \cdot 10^{11} \text{ с}^{-1} \left(\frac{t}{t_0} \right)^{-1/6}, \quad (23)$$

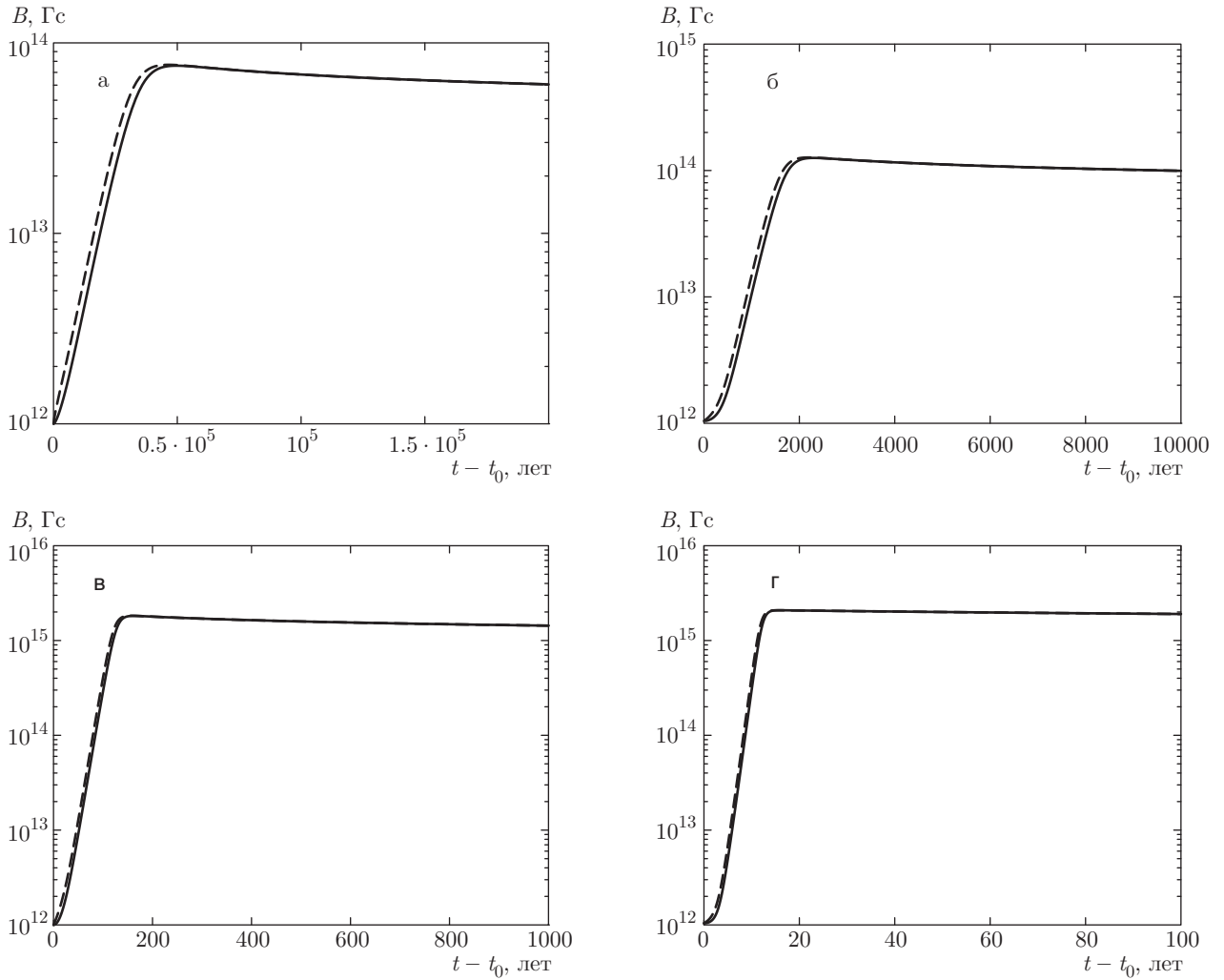


Рис. 2. Зависимость магнитного поля в магнитаре от $t - t_0$ для различных k_{max} и T_0 . Сплошные линии соответствуют магнитным полям с нулевой начальной спиральностью ($q = 0$), а штриховые линии — полям с максимальной начальной спиральностью ($q = 1$): *a* — эволюция магнитного поля для $k_{max} = 2 \cdot 10^{-10}$ эВ ($\Lambda_B = 1$ км) и $T_0 = 10^8$ К; *б* — рост магнитного поля при $k_{max} = 2 \cdot 10^{-9}$ эВ ($\Lambda_B = 10^2$ м) и $T_0 = 10^8$ К; *в* — эволюция магнитного поля для $k_{max} = 2 \cdot 10^{-10}$ эВ ($\Lambda_B = 1$ км) и $T_0 = 10^9$ К; *г* — рост магнитного поля при $k_{max} = 2 \cdot 10^{-9}$ эВ ($\Lambda_B = 10^2$ м) и $T_0 = 10^9$ К

где используются соотношение (22) и выбранная концентрация электронов.

На рис. 2 показана зависимость напряженности магнитного поля от времени на основе численного решения уравнений (2)–(4) с выбранными начальными условиями. На рис. 2 видно, что магнитное поле демонстрирует экспоненциальный рост на начальном этапе эволюции. Данный рост поля генерируется электрослабым eN -взаимодействием и определяется ненулевым параметром V_5 .

Рост поля происходит при $t - t_0 \sim (10-10^5)$ лет в зависимости от Λ_B и T_0 . Наиболее быстрый рост наблюдается при $T_0 = 10^9$ К, что соответствует наи-

меньшей σ_{cond} также для мелкомасштабных полей. Данный факт может быть объяснен исходя из уравнения Фарадея

$$\frac{\partial \mathbf{B}}{\partial t} = \frac{\Pi}{\sigma_{cond}} (\nabla \times \mathbf{B}) + \frac{1}{\sigma_{cond}} \nabla^2 \mathbf{B}, \quad (24)$$

которое эквивалентно уравнениям (2) и (3). Из уравнения (24) следует, что характерное время роста магнитного поля имеет вид $t \sim \sigma_{cond} \Lambda_B / \Pi$, что и объясняет отмеченную выше особенность. Заметим, что время роста поля до максимального значения $t \sim (10^3-10^5)$ лет при $T_0 = 10^8$ К, см. рис. 2*a* и 2*б*, близко к наблюдаемому возрасту молодых магнитаров [1].

Максимальная напряженность магнитного поля $B_{max} \sim (10^{14}-10^{15})$ Гс определяется начальной тепловой энергией. После достижения B_{max} поле начинает медленно убывать. Это объясняется продолжающейся потерей энергии из-за излучения нейтрино. Заметим, что B_{max} на рис. 2а меньше, чем на рис. 2б. Данный факт следует из того, что временной масштаб поля на рис. 2а больше и, соответственно, нейтрино успевают унести больше энергии из НЗ. Необходимо отметить, что $B_{max} \sim 10^{15}$ Гс на рис. 2в и 2г соответствуют предсказаниям магнитных полей в магнитарах [1].

На рис. 2 также показана эволюция магнитных полей с различной начальной спиральностью. Видно, что различия в поведении таких полей существенны только при малых временах эволюции. Данный факт согласуется с результатами работы [13].

Заметим, что новая зависимость Γ_f от времени в формуле (23) существенно не влияет на эволюцию магнитных полей по сравнению с результатами работ [13, 14]. Как было найдено в работе [12], почти любое $\mu_5(t_0)$ быстро стремится к нулю из-за большого Γ_f . Следовательно, несмотря на то, что $\Gamma_f(t_0)$ отличается от использованного в работах [13, 14], нельзя ожидать существенного различия в поведении поля при $t \gtrsim t_0$. При больших временах эволюции, $t \gg t_0$, $\Gamma_f(t)$ будет стремиться к нулю быстрее чем в работах [13, 14]. Однако в этом временном диапазоне основное влияние на рост поля оказывает перенормировка Π в формуле (21).

5. ЗАКЛЮЧЕНИЕ

В заключение отметим, что в данной работе были изучены $e\bar{p}$ -столкновения в плотном веществе НЗ. В частности, в разд. 3 было рассмотрено рассеяние поляризованных электронов на неполяризованных протонах. В разд. 3.1 была вычислена полная скорость изменения спиральности электрона при столкновении с протоном, в которой было точно учтено электрослабое взаимодействие между электронами и нейтронами вещества НЗ. Кинетическое уравнение для кирального дисбаланса было выведено в разд. 3.2. Релаксация кирального дисбаланса с точки зрения термодинамики была проанализирована в разд. 3.3. Полученные результаты были использованы в разд. 4 для описания генерации магнитных полей в магнитарах.

Заметим, что изначально модель генерации магнитного поля в магнитарах на основе электрослабо-

го eN -взаимодействия была сформулирована в работе [12]. Затем, в работах [13, 14] данная модель была скорректирована. Однако скорость изменения спиральности при $e\bar{p}$ -столкновениях была оценена в [12, 13], исходя из качественных соображений классической физики ([16], с. 61). Как известно, спин частицы является сугубо квантовым объектом. Именно поэтому его эволюция должна изучаться соответствующим образом. В настоящей работе были использованы методы КТП для вычисления скорости изменения спиральности. Этим можно объяснить отличие полученных результатов от результатов работ [12, 13], см. формулы (18) и (7).

Еще одним важным результатом, полученным в данной работе, является исследование влияния электрослабого взаимодействия электронов с нейтронами на процесс изменения их спиральности при столкновениях с протонами. Используя метод точных решений уравнения Дирака во внешнем поле (см. Приложение А), считая что рассеяние упругое и, что электроны ультрарелятивистские, мы нашли, что эффективные потенциалы $V_{L,R}$ не входят в явном виде в выражение для полной вероятности процессов $e_{L,R} \leftrightarrow e_{R,L}$ в формуле (15). Отсюда следует, что кинетическое уравнение для кирального дисбаланса (18) совпадает с таковым, использованным в работах [12–14], в противоположность недавнему утверждению в работе [5]; см. уравнение (19). Более того, выведенное нами кинетическое уравнение (18) подтверждается законами термодинамики; см. разд. 3.3. Таким образом, именно электрослабое eN -взаимодействие инициирует рост магнитного поля в модели, предложенной в работах [12–14].

Наконец, аккуратный учет закона сохранения энергии в Приложении D позволил видоизменить перенормировку параметра Π в формуле (21) по сравнению с результатами работы [14]. Это привело к более корректному описанию эволюции магнитного поля в магнитарах в разд. 4, особенно при $B \sim B_{eq}$. Тем не менее, параметры генерируемого поля, $B_{max} \sim (10^{14}-10^{15})$ Гс и время роста поля до максимального значения $\lesssim 5 \cdot 10^4$ лет, согласуются с астрофизическими предсказаниями для магнитаров [1].

Интересно также сравнить результаты настоящей работы с результатами недавнего исследования [6], в котором предсказывается генерация сверхсильных, $B \sim 10^{18}$ Гс, магнитных полей в магнитарах за счет комбинации кирального магнитного и кирально-вихревого [25] эффектов в электрон-нейтринном веществе в течение примерно 10^{-23} с. Заметим, что пространственный масштаб

магнитного поля, предсказываемый в работе [6], составляет около 10^{-12} см. В работе [6] утверждается, что пространственный масштаб поля может увеличиться за счет механизма, аналогичного обратному каскаду энергии [26]. Однако никаких количественных оценок увеличения масштаба поля в работе [6] не приводится. Кроме того, в работе [27] было показано, что мелкомасштабные магнитные поля будут эффективно диссипировать за время порядка нескольких секунд за счет явления пересоединения магнитных силовых линий. Таким образом, применение результатов [6] для объяснения магнитных полей магнитаров выглядит сомнительным. Аналогичное возражение может быть высказано и в отношении результатов работы [5], поскольку в данной работе также предсказывается генерация мелкомасштабных магнитных полей. Как следует из результатов численного моделирования в разд. 4, магнитные поля, предсказываемые в рамках нашей модели, являются крупномасштабными, что делает их невосприимчивыми к диссипационным процессам типа магнитного пересоединения.

Автор выражает признательность В. Г. Багрову и В. Б. Семикозу за плодотворные дискуссии. Работа выполнена при финансовой поддержке РФФИ (грант № 15-02-00293), ДААД (грант № 91610946) и в рамках программы повышения конкурентоспособности ТГУ.

ПРИЛОЖЕНИЕ А

Решение уравнения Дирака для электрона, слабо взаимодействующего с ядерным веществом

В этом Приложении приведено точное решение уравнения Дирака для электрона, электрослабо взаимодействующего с ядерным веществом, состоящим из нейтронов и протонов. Следует отметить, что аналогичная проблема также исследовалась в работе [28]. Тем не менее, здесь данное решение представлено в виде, удобном для последующих вычислений.

Рассмотрим электронейтральное вещество НЗ, состоящее из нейтронов, протонов и электронов. Предполагается, что данное вещество находится в состоянии покоя и не поляризовано. Уравнение Дирака для пробного электрона, описываемого биспинорной волновой функцией ψ , который электрослабо взаимодействует с нейтронами и протонами, имеет вид

$$[i\gamma^\mu \partial_\mu - m - \gamma^0 (V_L P_L + V_R P_R)] \psi = 0, \quad (25)$$

где

$$\begin{aligned} V_L &= \frac{G_F}{\sqrt{2}} [n_n - n_p(1 - 4\xi)] (1 - 2\xi), \\ V_R &= -\frac{G_F}{\sqrt{2}} [n_n - n_p(1 - 4\xi)] 2\xi, \end{aligned} \quad (26)$$

— эффективные потенциалы взаимодействия левой и правой киральных проекций с веществом, $n_{n,p}$ — постоянные и однородные плотности нейтронов и протонов, $\xi = \sin^2 \theta_W \approx 0.23$ — параметр Вайнберга, $P_{L,R} = (1 \mp \gamma^5)/2$ — киральные проекторы, а $\gamma^5 = i\gamma^0\gamma^1\gamma^2\gamma^3$.

Будем искать решение уравнения (25) в виде

$$\psi = \frac{1}{\sqrt{V}} \exp[-iEt + i(\mathbf{p} \cdot \mathbf{r})] u, \quad (27)$$

где u — постоянный биспинор. Тогда, используя уравнение (25), получаем спектр энергии в форме

$$\begin{aligned} E &= \bar{V} + E_0, \quad \bar{V} = \frac{V_L + V_R}{2}, \\ E_0^2 &= (p - sV_5)^2 + m^2, \quad V_5 = \frac{V_L - V_R}{2}, \end{aligned} \quad (28)$$

где $s = +1$ для правых электронов и $s = -1$ для левых электронов. Заметим, что в формуле (28) не учитываются позитронные степени свободы. Если электроны ультрарелятивистские, то из соотношения (28) следует, что $E_\pm = p + V_{R,L}$.

Используя киральное представление для матриц Дирака ([18], с. 387), можно найти базисные биспиноры в виде

$$\begin{aligned} u_+ &= N_+ \begin{pmatrix} w_+ \\ -\frac{w_+}{E_+ + p - V_L} \end{pmatrix}, \\ u_- &= N_- \begin{pmatrix} -\frac{w_-}{E_- + p - V_R} \\ w_- \end{pmatrix}, \end{aligned} \quad (29)$$

где w_\pm — спиральные амплитуды ([20], с. 110),

$$\begin{aligned} w_+(\mathbf{p}) &= \begin{pmatrix} e^{-i\phi/2} \cos \frac{\vartheta}{2} \\ e^{i\phi/2} \sin \frac{\vartheta}{2} \end{pmatrix}, \\ w_-(\mathbf{p}) &= \begin{pmatrix} -e^{-i\phi/2} \sin \frac{\vartheta}{2} \\ e^{i\phi/2} \cos \frac{\vartheta}{2} \end{pmatrix}. \end{aligned} \quad (30)$$

Здесь ϕ и ϑ — сферические углы, задающие направление вектора \mathbf{p} . Спиноры w_\pm являются собственными векторами оператора спиральности: $(\boldsymbol{\sigma} \cdot \mathbf{p}) w_\pm = \pm |\mathbf{p}| w_\pm$.

Если нормировать волновую функцию электрона следующим образом —

$$\int d^3x \psi^\dagger \psi = 1 \quad (31)$$

— то нормировочные константы N_\pm в формуле (29) равны

$$N_\pm = \sqrt{\frac{E_\pm + p - V_{L,R}}{2E_{0\pm}}}, \quad (32)$$

где E_\pm и $E_{0\pm}$ даны в уравнении (28).

ПРИЛОЖЕНИЕ В

Вычисление интегралов по фазовому объему

В данном Приложении вычисляются интегралы по импульсам электронов и протонов в формуле (14). Поскольку в приближении упругого рассеяния вклады электронов и протонов в матричный элемент (13) факторизуются, вычисление интегралов в формуле (14) можно проводить независимо.

Сначала вычислим интеграл по электронным импульсам:

$$I_e = \int \frac{d^3p_1 d^3p_2 (p_1 + p_2)^2 [1 - (\mathbf{n}_1 \cdot \mathbf{n}_2)]}{16 (p_1 - V_5)^2 (p_2 + V_5)^2} \times \\ \times \delta^3(\mathbf{p}_1 - \mathbf{p}_2 - \mathbf{q}) \delta(p_1 - p_2 + \mathcal{E}_1 - \mathcal{E}_2 + V_R - V_L) \times \\ \times \theta(\mu_R - p_1 - V_R) \theta(p_2 + V_L - \mu_L), \quad (33)$$

где $\mathbf{q} = \mathbf{k}_2 - \mathbf{k}_1$. В формуле (33) предполагается, что электроны сильновырожденные и ультрарелятивистские. Используя законы сохранения, можно привести соотношение (33) к виду

$$I_e = \pi \frac{|\mathbf{q}|^2 - V_5^2}{4|\mathbf{q}|} \times \\ \times \frac{(\mu_R - \mu_L) \theta(\mu_R - \mu_L)}{(\mu_R - \bar{V})(\mu_L - \bar{V})} \approx \\ \approx \frac{\pi |\mathbf{q}|}{4\mu_e^2} (\mu_R - \mu_L) \theta(\mu_R - \mu_L), \quad (34)$$

где предполагалось, что $\mu_{L,R} \gg \bar{V}$, $\mu_L \approx \mu_R \approx \mu_e$, и $|\mathbf{q}| \gg V_5$. Важным следствием из формулы (34) является то, что V_5 не входит в разность химических потенциалов в числителе.

Интеграл по импульсам протонов

$$I_p = \int \frac{d^3k_1 d^3k_2}{\mathcal{E}_1 \mathcal{E}_2} \frac{\mathcal{E}_1 \mathcal{E}_2 + M^2 + (\mathbf{k}_1 \cdot \mathbf{k}_2)}{[(\mathbf{k}_1 - \mathbf{k}_2)^2 + \omega_p^2]^{3/2}} \times \\ \times f_p(\mathcal{E}_1 - \mu_p) [1 - f_p(\mathcal{E}_2 - \mu_p)] \quad (35)$$

может быть вычислен с помощью замены переменных: $\mathbf{q} = \mathbf{k}_2 - \mathbf{k}_1$ и $\mathbf{Q} = \mathbf{k}_2 + \mathbf{k}_1$. Заметим, что в формулу (35) была введена плазменная частота в вырожденном веществе [29] $\omega_p^2 = 4\alpha_{em}\mu_e^2/3\pi$, чтобы избежать инфракрасной расходимости. Считая, что протоны вырождены и имеют небольшую ненулевую температуру, а также что вещество НЗ электронейтрально, можно преобразовать формулу (35) к виду

$$I_p = 16\mu_e M \pi^2 T \left[\ln \left(\frac{48\pi}{\alpha_{em}} \right) - 4 \right]. \quad (36)$$

Используя формулы (34) и (36), приходим к уравнению (15).

ПРИЛОЖЕНИЕ С

Кинетические уравнения для чисел заполнения левых и правых электронов

В данном Приложении выводятся кинетические уравнения (16) на основе уравнения Больцмана с интегралом столкновений.

В отсутствие внешних полей кинетические уравнения для пространственно-однородных функций распределения левых и правых электронов $f_{L,R} = f_{L,R}(\mathbf{p}_{L,R}, t)$ имеют вид

$$\frac{\partial f_{L,R}}{\partial t} = J_{coll} [f_{L,R}], \quad (37)$$

где $J_{coll} [f_{L,R}]$ — интегралы столкновений. Поскольку в разд. 3.1 и 3.2 исследуются столкновения, в которых спиральность электронов изменяется на противоположную, $J_{coll} [f_{L,R}]$ представимы в следующей форме [30]:

$$J_{coll} [f_L] = \int \frac{d^3p_R}{(2\pi)^3} \frac{d^3k_1}{(2\pi)^3} \frac{d^3k_2}{(2\pi)^3} \frac{|\mathcal{M}_{R \rightarrow L}|^2}{2\mathcal{E}_1 \mathcal{E}_2} \times \\ \times (2\pi)^4 \delta^4(p_L + k_2 - p_R - k_1) \times \\ \times (1 - f_L) f_R [1 - f_p(\mathbf{k}_2)] f_p(\mathbf{k}_1) - \\ - \int \frac{d^3p_R}{(2\pi)^3} \frac{d^3k_1}{(2\pi)^3} \frac{d^3k_2}{(2\pi)^3} \frac{|\mathcal{M}_{L \rightarrow R}|^2}{2\mathcal{E}_1 \mathcal{E}_2} \times \\ \times (2\pi)^4 \delta^4(p_L + k_1 - p_R - k_2) \times \\ \times f_L (1 - f_R) [1 - f_p(\mathbf{k}_2)] f_p(\mathbf{k}_1), \quad (38) \\ J_{coll} [f_R] = \int \frac{d^3p_L}{(2\pi)^3} \frac{d^3k_1}{(2\pi)^3} \frac{d^3k_2}{(2\pi)^3} \frac{|\mathcal{M}_{L \rightarrow R}|^2}{2\mathcal{E}_1 \mathcal{E}_2} \times \\ \times (2\pi)^4 \delta^4(p_L + k_1 - p_R - k_2) \times \\ \times (1 - f_R) f_L [1 - f_p(\mathbf{k}_2)] f_p(\mathbf{k}_1) - \\ - \int \frac{d^3p_L}{(2\pi)^3} \frac{d^3k_1}{(2\pi)^3} \frac{d^3k_2}{(2\pi)^3} \frac{|\mathcal{M}_{R \rightarrow L}|^2}{2\mathcal{E}_1 \mathcal{E}_2} \times \\ \times (2\pi)^4 \delta^4(p_L + k_2 - p_R - k_1) \times \\ \times f_R (1 - f_L) [1 - f_p(\mathbf{k}_2)] f_p(\mathbf{k}_1),$$

где $f_p(\mathbf{k}_{1,2})$ — функции распределения протонов до и после столкновения, которые определены в разд. 3.1, а $\mathcal{M}_{L \rightarrow R}$ и $\mathcal{M}_{R \rightarrow L}$ — матричные элементы соответствующих процессов, нормировка которых совпадает с формулой (8). В соотношении (38) учтено усреднение по поляризациям протонов.

Интегрируя уравнения (37) по p_L и p_R с учетом формулы (38) и умножая полученный результат на $V/(2\pi)^3$, получаем кинетические уравнения

$$\begin{aligned} \frac{dN_L}{dt} &= W(R \rightarrow L) - W(L \rightarrow R), \\ \frac{dN_R}{dt} &= W(L \rightarrow R) - W(R \rightarrow L) \end{aligned} \quad (39)$$

для полных чисел заполнения левых и правых электронов, определенных согласно соотношению

$$N_{L,R}(t) = V \int \frac{d^3 p_{L,R}}{(2\pi)^3} f_{L,R}(\mathbf{p}_{L,R}, t). \quad (40)$$

Полные вероятности переходов в формуле (39) имеют вид

$$\begin{aligned} W(R \rightarrow L) &= \frac{V}{2(2\pi)^8} \int d^3 p_L d^3 p_R d^3 k_1 d^3 k_2 \times \\ &\times \frac{|\mathcal{M}_{R \rightarrow L}|^2}{\mathcal{E}_1 \mathcal{E}_2} \delta^4(p_L + k_2 - p_R - k_1) \times \\ &\times (1 - f_L) f_R [1 - f_p(\mathbf{k}_2)] f_p(\mathbf{k}_1), \\ W(L \rightarrow R) &= \frac{V}{2(2\pi)^8} \int d^3 p_L d^3 p_R d^3 k_1 d^3 k_2 \times \\ &\times \frac{|\mathcal{M}_{L \rightarrow R}|^2}{\mathcal{E}_1 \mathcal{E}_2} \delta^4(p_L + k_1 - p_R - k_2) \times \\ &\times f_L (1 - f_R) [1 - f_p(\mathbf{k}_2)] f_p(\mathbf{k}_1). \end{aligned} \quad (41)$$

В первом приближении можно заменить $f_{L,R}$ в формуле (41) на равновесные функции распределения электронов $f_e(E - \mu_{L,R})$, которые использованы в разд. 3.1. В этом случае видно, что формулы (39) и (41) совпадают соответственно с соотношениями (16) и (14).

ПРИЛОЖЕНИЕ D

Источник энергии, обеспечивающий рост магнитного поля

В данном Приложении рассмотрен механизм преобразования тепловой энергии фермионов вещества в энергию растущего магнитного поля.

Несмотря на тот факт, что фермионы в НЗ сильно вырождены, они обладают ненулевой температурой. Например, по прошествии $t \sim 10^2$ лет после взрыва СН температура может достигать $T \gtrsim$

$\gtrsim 10^8$ К. В работе [14] было выдвинуто предположение, что рост магнитного поля, предсказанный в работах [12, 13], может быть обеспечен передачей тепловой энергии от фермионов вещества. Чтобы обосновать возможность данного процесса, необходимо рассмотреть уравнение, описывающее сохранение энергии в магнитной гидродинамике ([31], с. 331):

$$\frac{\partial}{\partial t} \left(\frac{\rho \mathbf{v}^2}{2} + \varepsilon_T + \frac{B^2}{2} \right) = -(\nabla \cdot \mathbf{q}), \quad (42)$$

где ρ — масса единицы объема вещества НЗ, ε_T — внутренняя энергия единицы объема, \mathbf{v} — скорость, а \mathbf{q} — плотность потока энергии.

Можно представить ε_T в виде $\varepsilon_T = \varepsilon_0 + \delta\varepsilon_T$, где ε_0 — не зависящая от температуры внутренняя энергия вырожденного газа, а $\delta\varepsilon_T$ — тепловая поправка. В работе [14] было показано, что магнитное поле может черпать энергию из $\delta\varepsilon_T$. Кроме того, в работе [14] было найдено, что

$$\delta\varepsilon_T = \frac{B_{eq}^2}{2} = \left[\frac{M_N(p_{F_n} + p_{F_p})}{2} + \mu_e^2 \right] \frac{T^2}{2}, \quad (43)$$

где M_N — масса нуклонов, а $p_{F_{p,n}}$ — импульсы Ферми для протонов и нейтронов.

Интегрируя уравнение (42) по объему НЗ V и предполагая, что $\mathbf{q} = 0$ на поверхности НЗ, а также принимая во внимание формулу (43), получаем закон сохранения

$$\frac{d}{dt} (\delta\varepsilon_T + \rho_B) = 0, \quad \rho_B = \frac{1}{2V} \int B^2 d^3x. \quad (44)$$

Соотношение (44) показывает, что рост магнитного поля происходит благодаря уменьшению тепловой поправки ко внутренней энергии. В уравнении (44) учтено, что $\dot{\varepsilon}_0 = 0$.

Используя уравнение (44), можно обосновать перенормировку параметра Π в формуле (21). Если пренебречь остыванием НЗ за счет излучения нейтрино, то, интегрируя уравнение (44) с соответствующим начальным условием, можно получить, что

$$B^2 + B_{eq}^2(T) = B_{eq}^2(T_0),$$

где учтено, что $B_{eq}(T_0) \gg B_0$ в типичной НЗ. Следовательно, температура вещества НЗ будет зависеть от растущего магнитного поля как

$$T^2 = T_0^2 [1 - B^2/B_{eq}^2(T_0)],$$

где использовалась формула (43). Затем, используя температурную зависимость проводимости $\sigma_{cond} \propto \propto 1/T^2$ [17], находим, что проводимость становится зависящей от растущего магнитного поля:

$$\sigma_{cond} \rightarrow \sigma_{cond} \left[1 - \frac{B^2}{B_{eq}^2(T_0)} \right]^{-1}. \quad (45)$$

Необходимо отметить, что данную зависимость достаточно учесть в уравнениях (2)–(4) только в слагаемых, содержащих $\mu_5 + V_5$, поскольку только они ответственны за неустойчивость магнитного поля. В работе [32] было показано, что по прошествии примерно 10^2 лет после взрыва СН излучение нейтрино в модифицированных урка-процессах дает основной вклад в остывание НЗ. Если принять во внимание также и этот канал остывания НЗ, то необходимо заменить $B_{eq}^2(T_0)$ на $B_{eq}^2(T)$ в формуле (45). Данная модификация уравнений (2)–(4) эквивалентна формуле (21). Таким образом, усиление магнитного поля, предсказываемое в нашей модели, учитывает остывание НЗ за счет излучения нейтрино.

Следует заметить, что при выводе закона сохранения в формуле (44) предполагалось, что $\mathbf{q} = 0$. Данное предположение эквивалентно пренебрежению излучением фотонов с поверхности НЗ. Следовательно, если считать, что $\mathbf{q} \neq 0$, т.е. излучение с поверхности НЗ присутствует, то часть начальной тепловой энергии будет расходоваться в этом канале остывания НЗ. Таким образом, напряженность магнитного поля B_{max} , полученная в разд. 4, будет несколько завышенной. Однако, как показано в работе [32], излучение фотонов с поверхности НЗ является второстепенным (по сравнению с излучением нейтрино, которое, как уже было отмечено выше, точно учитывается в нашей модели) каналом остывания НЗ во временном интервале 10^2 лет $\lesssim t \lesssim 10^6$ лет, который использовался в разд. 4. Следовательно, если при выводе аналога закона сохранения (44) считать, что $\mathbf{q} \neq 0$, то это приведет к не слишком сильному расхождению в величине B_{max} по сравнению с разд. 4.

Интересно отметить, что, несмотря на охлаждение НЗ из-за роста магнитного поля, второй закон термодинамики не нарушается. Данный факт может быть проверен с использованием уравнения переноса тепла в магнитной гидродинамике ([31], с. 335), которое, кстати, следует из уравнения (42):

$$\rho T \left[\frac{\partial s}{\partial t} + (\mathbf{v} \nabla) s \right] = \kappa \nabla^2 T + \frac{1}{\sigma_{cond}} (\nabla \times \mathbf{B})^2, \quad (46)$$

где s — энтропия единицы массы, а κ — коэффициент теплопроводности. Заметим, что в уравнении (46) отброшен тензор вязких напряжений. Интегрируя уравнение (46) по объему НЗ, получаем закон изменения полной энтропии S в виде ([33], с. 273)

$$\frac{dS}{dt} = \int \kappa \frac{(\nabla T)^2}{T^2} d^3x + \int \frac{(\nabla \times \mathbf{B})^2}{T \sigma_{cond}} d^3x, \quad (47)$$

$$S = \int \rho s d^3x.$$

Из формулы (47) следует, что $\dot{S} > 0$, т.е. второй закон термодинамики не нарушается.

В конце данного Приложения необходимо отметить, что магнитное охлаждение хорошо известно в науке и технике. Во-первых, можно упомянуть радиационное охлаждение электронов в сильном магнитном поле с образованием двухуровневой системы фермионов с противоположно направленными спинами [34]. Во-вторых, отметим магнитокалорический эффект, который имеет множество технологических приложений [35].

ЛИТЕРАТУРА

1. S. Mereghetti, J. A. Pons, and A. Melatos, *Space Sci. Rev.* **191**, 315 (2015).
2. R. C. Duncan and C. Thompson, *Astrophys. J.* **392**, L9 (1992).
3. J. Vink and L. Kuiper, *Mon. Not. Roy. Astron. Soc. Lett.* **370**, L14 (2006).
4. C. Thompson, M. Lyutikov, and S. R. Kulkarni, *Astrophys. J.* **574**, 332 (2002).
5. G. Sigl and N. Leite, *J. Cosmol. Astropart. Phys.* **01**, 025 (2016).
6. N. Yamamoto, *Phys. Rev. D* **93**, 065017 (2016).
7. V. A. Miransky and I. A. Shovkovy, *Phys. Rep.* **576**, 1 (2015).
8. J. Charbonneau and A. Zhitnitsky, *J. Cosmol. Astropart. Phys.* **08**, 010 (2010).
9. A. Vilenkin, *Phys. Rev. D* **22**, 3067 (1980).
10. V. A. Rubakov, *Progr. Theor. Phys.* **75**, 366 (1986).
11. A. Boyarsky, O. Ruchayskiy, and M. Shaposhnikov, *Phys. Rev. Lett.* **109**, 111602 (2012).
12. M. Dvornikov and V. B. Semikoz, *Phys. Rev. D* **91**, 061301 (2015).
13. M. Dvornikov and V. B. Semikoz, *J. Cosmol. Astropart. Phys.* **05**, 032 (2015).
14. M. Dvornikov and V. B. Semikoz, *Phys. Rev. D* **92**, 083007 (2015).
15. С. Вайнберг, *Квантовая теория поля. Том 2. Современные приложения*, Физматлит, Москва (2003).

16. А. Ф. Александров, Л. С. Богданкевич, А. А. Рухадзе, *Основы электродинамики плазмы*, Высшая школа, Москва (1978).
17. D. C. Kelly, *Astrophys. J.* **179**, 599 (1973).
18. К. Ициксон, Ж.-Б. Зюбер, *Квантовая теория поля*, т. 2, Мир, Москва (1984).
19. Е. М. Лифшиц, Л. П. Питаевский, *Физическая кинетика*, 2-е изд., Физматлит, Москва (2002).
20. В. Б. Берестецкий, Е. М. Лифшиц, Л. П. Питаевский, *Квантовая электродинамика*, 3-е изд., Наука, Москва (1989).
21. D. Grabowska, D. B. Kaplan, and S. Reddy, *Phys. Rev. D* **92**, 085035 (2015).
22. Л. Д. Ландау, Е. М. Лифшиц, *Статистическая физика. Часть 1*, 5-е изд., Физматлит, Москва (2002).
23. O. Y. Gnedin, D. G. Yakovlev, and A. Y. Potekhin, *Mon. Not. Roy. Astron. Soc.* **324**, 725 (2001).
24. C. J. Pethick, *Rev. Mod. Phys.* **64**, 1133 (1992).
25. D. E. Kharzeev, J. Liao, S. A. Voloshin et al., *Progr. Part. Nucl. Phys.* **88**, 1 (2016).
26. С. Д. Данилов, Д. Гурарий, *УФН* **170**, 921 (2000).
27. S. G. Moiseenko and G. S. Bisnovatyi-Kogan, *Int. J. Mod. Phys. D* **17**, 1411 (2008).
28. A. Grigoriev, S. Shinkevich, A. Studenikin et al., *Grav. Cosmol.* **14**, 248 (2008).
29. E. Braaten and D. Segel, *Phys. Rev. D* **48**, 1478 (1993).
30. С. де Гроот, В. ван Леувен, Х. ван Верт, *Релятивистская кинетическая теория*, Мир, Москва (1983).
31. Л. Д. Ландау, Е. М. Лифшиц, *Электродинамика сплошных сред*, 4-е изд., Физматлит, Москва (2003).
32. D. G. Yakovlev and C. J. Pethick, *Ann. Rev. Astron. Astrophys.* **42**, 169 (2004).
33. Л. Д. Ландау, Е. М. Лифшиц, *Гидродинамика*, 5-е изд., Физматлит, Москва (2003).
34. И. М. Тернов, В. Г. Багров, О. Ф. Дорофеев, *Изв. вузов, сер. физика*, вып. 10, 63 (1968).
35. B. F. Yu, Q. Gao, B. Zhang et al., *Int. J. Refrig.* **26**, 622 (2003).